

風波の水粒子速度

鳥取大学工学部 正員 須山 明
 鳥取大学工学部 正員 木村 晃
 大日本土木(株) ○正員 國友慶記

1. はじめに；この研究は、波別解析法により定義した不規則波の内部機構を検討するため、風制水槽で発生させた風波を対象として研究を行ったもので、まず、浅海域における不規則波に対して、従来の成分波の概念をもとづく、スペクトル解析法の適用に問題があることを指摘し、つづいて zero-up-cross 法による力学的取り扱いの妥当性を示したものである。

2. 実験装置および方法：実験は長さ 25m、幅 0.6m、深さ 1m の一部片側がラバ張りの風制式波浪水槽と用いて行なった。水槽の一端には勾配 1/10 の斜面を設置した。水粒子速度は相差式超音波流速計を用いて測定した。実験水深は $h = 40 \text{ cm}$ を一定とした。測定点の水深は水平床部分 $h = 40 \text{ cm}$ (A)，および斜面上 $h = 30 \text{ cm}$ (B)， 20 cm (C)， 10 cm (D) の計 4 点である。また、流速計の設置位置は各点とも静水面下 5 cm とした。

3. クロススペクトル解析：通常、互いに異なる 2 つの不規則波のデータの周波数成分相互の相關を検討するためにはクロススペクトル解析を用いることが多い。この研究では、FFT を用いたペリオドグラム法を採用してクロススペクトル解析を行なった。水粒子速度の水位変動に対する Gain，両者のコヒーレンスおよび位相スペクトル等を計算した。図-1 は C 点の水位変動のスペクトル図である。図中に示す直線は Phillips の平衡スペクトルを表したものであり、若干 over shoot 現象が見受けられるが、全体としては理論値とはほぼ対応している。ここで用いた不規則波が十分発達して現地表面と同様なスペクトル特性を持つことがわかる。図-2 は C 点 ($h = 20 \text{ cm}$) における水粒子速度の水位変動に対する Gain を計算した結果である。図中の破線は次式の微小振幅波理論による周波数伝達関数である。

$$U = \sqrt{\frac{\cosh k(h+z)}{\sinh kh}} \eta$$

$z = U$: 水平方向水粒子速度, η : 水位変動

A 点、B 点でもほぼ同様な結果が得られており、データとこの周波数伝達関数とはあまり対応がよくなかった。したがって、風波の内部機構に関する従来の線型重ね合わせ理論の若干の問題があると考えられる。ここではさらに水位変動と水粒子速度に対するこの放分歧の概念との対応性について検討するため両者のコヒーレンスを求めた。その結果を示したのが図-3 である。水位変動と水粒子速度を水位に対して微小振幅波理論によると、成分波の概念が適用できるならば、コヒーレンスはすべての周波数で 1 となる。図-4 の位相スペクトルも同様にすべての周波数で 0 となるはずである。しかし、国からわかるように、この点は必ずしもすべての周波数で満足されていないといえず、特に $f < 1.5 \text{ Hz}$, $f > 3.0 \text{ Hz}$ の周波数帯での違いが顕著である。以上の結果から、成分波の概念は右から左に指摘しているように有効周波数帯の外では通用せず、有効周波数帯内であっても、図-2 に示すように成分波の水位変動と水粒子速度は微小振幅波理論と若干異なる関係を持つ。この原因は 1 つとして波の非線形性である。実験データからも波の非線形性があり、谷が平らになると、この共通の特性が見られ、それは水深の減少とともに顕著になる。不規則波成こうじ非

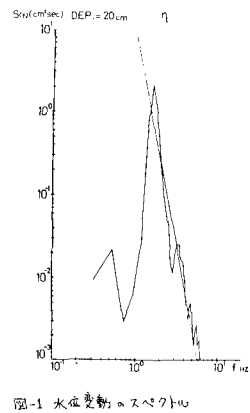


図-1 水位変動のスペクトル

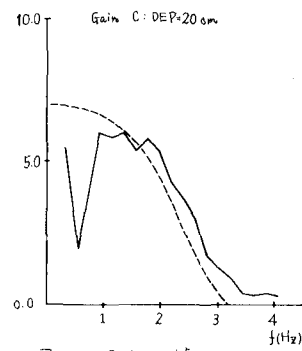


図-2 Gain の点

線型性を持つ場合には、スペクトル解析による成分波の特性の検討には問題がある。これらの不規則波の非線型性を考慮するため、ここで zero-up-cross 法によって波の内部機構を検討する。

4. zero-up-cross 法による不規則波の取り扱い：最近 岩垣らは zero-up-cross 法で定義した個々の波の特性を波高・周期の関係等で規則波と单纯に置き換えて考えることには問題があり、個々の特性について基礎的研究が必要性を指摘している。²²⁾ では 実際の不規則波の内部機構について、zero-up-cross 法による取り扱いの可能性を検討する。しかし、不規則波の個々の波と規則波と比較することは、その不規則性の故にあまり意味がない。したがってここでは 3. で用いた $\tau - \theta$ を zero-up-cross 法で定義し、波高・周期の関係で数値を水深の zero-up-cross 点をもろえて重ね合わせて平均化した平均波について検討した。これらと波高・周期より求めた微小振幅波、stokes 波第 3 次近似解、およびクノイド波等の波動理論と比較した。一様水深部では 波形、水粒子速度とも微小振幅波理論と比較的良好に対応を示している。水深の減衰とともに、だんだん stokes 波の方が良い対応を示す始め、D 点 ($h = 10 \text{ cm}$) ではクノイド波が最も良い対応を示した。図-5 は D 点における平均波の波形、水粒子速度と前述した 3 つの理論式との対応を示したものである。図中の実線が平均波で、破線が微小振幅波、点線が stokes 波および一点鎖線がクノイド波理論による値である。波形について見ると stokes 波とクノイド波の差はほとんどなく、平均波形に対する岩垣らの報告しているいわゆる波形の前めがみ特性が認められることなく、これら兩理論と良い対応を示している。一方、水平方向水粒子速度は明らかに A と D 点においてはクノイド波理論との対応が最も良好である。図-6 は平均波の水粒子速度と前述した波動理論との対応を検討したもので、平均波の水粒子速度の最大値と最小値との差 ΔV と理論値 V_{th} との比 $\Delta V/V_{th}$ を水深比 H/h に対してプロットしたものである。図中 A 印は V_{th} として stokes 波理論を、B 印はクノイド波理論を用いたものである。図からわかるようにデータは幾分ばらついてはいるものの、ほぼ理論値の ± 10% の範囲におさまっており、平均波の水粒子速度場は、規則波の理論によりほぼ正確に推定することができます。ただし、波動理論の適用限界については規則波のそれを利用することには問題がありそうだ。すなはち、図-6 の $\Delta V/V_{th}$ は平均波のそれと最もよく対応したものを用いたが、その適用限界は必ずしも規則波に対して用いられてくる Wilson の基準は受けつけない。たとえば、stokes 波は彼が示した適用範囲 $h^2/l^2 < 1$ よりも幾分広く適用範囲を持つようである。

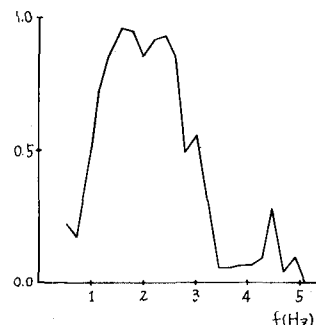


図-3 コヒーレンス C 点: 水深 20 cm

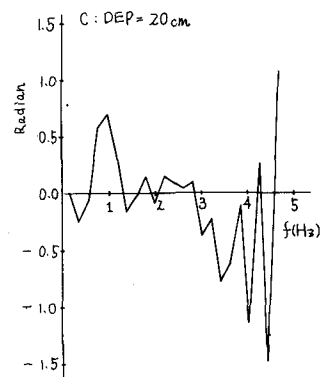


図-4 位相スペクトル

おいてはクノイド波理論との対応が最も良好である。図-6 は平均波の水粒子速度と前述した波動理論との対応を検討したもので、平均波の水粒子速度の最大値と最小値との差 ΔV と理論値 V_{th} との比 $\Delta V/V_{th}$ を水深比 H/h に対してプロットしたものである。図中 A 印は V_{th} として stokes 波理論を、B 印はクノイド波理論を用いたものである。

図からわかるようにデータは幾分ばらついてはいるものの、ほぼ理論値の ± 10% の範囲におさまっており、平均波の水粒子速度場は、規則波の理論によりほぼ正確に推定することができます。ただし、波動理論の適用限界については規則波のそれを利用することには問題がありそうだ。

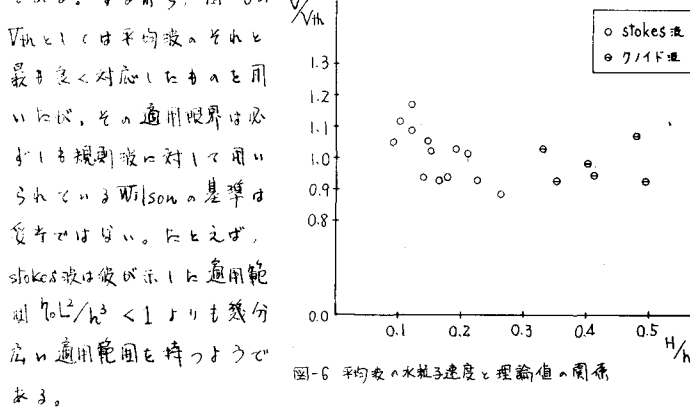


図-6 平均波の水粒子速度と理論値の関係

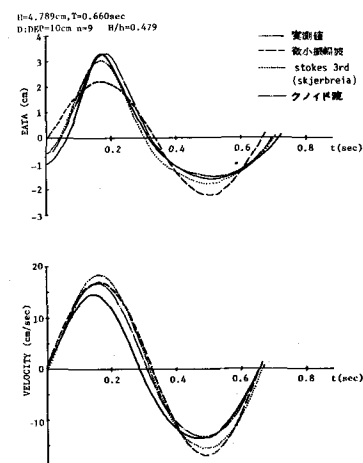


図-5 a: 波形の比較, b: 水粒子速度の比較